

تقييم خصائص أطيان تلول جبل القند لتصنيع طابوق البناء باعتماد طريقي البثق والكس في التشكيل

ميساء صبحي جودي¹ و وليد رشيد عبدالله²

الاستلام: 27/10/2014، القبول: 19/04/2015

الكلمات الدالة: طابوق البناء، طرق التشكيل، أطيان جبل القند، نينوى، العراق

المستخلاص

لغرض التعرف على خواص أطيان منطقة تلول جبل القند في محافظة نينوى، فقد تم دراسة خواصها وتحديد صلاحيتها في إنتاج طابوق البناء بطرق البثق والكس، تمأخذ (10) نماذج من المادة الخام ونذرتها بالتقسيم والتربيع وإجراء الفحوصات الكيميائية والفيزيائية والمعدنية وتهيئتها للتشكيل باتباع طريقي البثق بأبعاد (7.5 × 3.8 × 2.5) سم والكس (شكل اسطواني) بأبعاد (5.4 × 3.5 × 2.5) سم، وتم تجيف النماذج على مرحليتين بدرجة حرارة الغرفة لمدة (48) ساعة وبالفرن الكهربائي بدرجة (110) °م لمدة (24) ساعة. وتم الحرق بدرجات حرارية مختلفة (750، 800، 850 و 1100) °م وفق برنامج حرق معين و زمن انصاج (2) ساعة، تم دراسة عدة متغيرات على خواص النماذج المختبرية المحضرة وتشمل:

إن تقليل المقاس الحبيبي للمادة الخام وتاثيرها على خواص النماذج، غمر المادة الأولية بالماء وغربتها رطبة على مقاس (1) ملم، وعلاقة كل المتغيرات مع اختلاف درجات حرارة الحرق وطرق التشكيل (بثق، كبس)، وبينت النتائج تفوق نماذج البثق (K1-1، K3-3 و K8-2) عند الحرق بدرجة حرارة (800) °م من حيث المظهر الخارجي والخواص الفيزيائية والميكانيكية، طبقاً للمواصفة القياسية العراقية رقم 25 لسنة 1993.

ASSESSMENT OF THE KEND HILL CLAYS FOR MANUFACTURING BUILDING BRICKS USING EXTRUSION AND PRESSING FORMING

Mayada S. Joodi and Waleed R. Abdullah

ABSTRACT

Due to the variation in the characteristics of Al-Kend Hill clays (Nineva Governorate), this study was prepared to determine the properties of these clays, and to identify the best method for the production of building bricks. Two methods of forming clay were used to produce clay brick samples: extrusion (2.5 × 3.8 × 7.5) cm and pressing cylinder shape (3.5 × 5.4) cm, then dried at room temperature for 48 hr and for 24 hr at 110 °C using the laboratory oven. After drying the samples, they were burned at different elevated temperatures (750, 800, 850 and 1100) °C according to certain firing program for 2 hr soaking time.

The effect of several parameters on the properties of the laboratory samples were studied: (particle size distribution of the raw material, effect of submerging the raw material in water, effect of firing temperatures (750, 800, 850, 1100) °C and the relationship of all variables with different burning temperatures and the methods of forming (extrusion, pressing)).

The results show that firing extruded samples at 800 °C (K8-2, K3-3, K1-1) are successful being within the specification limits of the Iraqi standards No.25, 1993.

¹ معاون رئيس مهندسين، هيئة المسح الجيولوجي العراقية، ص.ب. 986، علوية، بغداد، العراق

² مدرس مساعد، قسم هندسة المواد، كلية الهندسة، الجامعة المستنصرية

المقدمة

تم دراسة الترب الطينية المتطبقة ضمن التكاوين الحبيوجيه (إنجانية والمقدادية) التي ترسبت على هيئة طبقات طينية في بيئة فيضية قديمة أو بيئة بحرية شاطئية قيمة تعرضت للطرmer والرص الطبيعي وعند تعرضها للتجروية أصبحت مكشوفة أو شبه مكشوفة. هناك العديد من الدراسات لصناعة الطابوق الفخاري محلياً المصنوع من تكويني إنجانية والمقدادية في محافظات ديرالي وصلاح الدين وكركوك ونينوى والتي بحثت التقييم النوعي والكمي للترب الطينية لأغراض صناعة الطابوق، تقع منطقة الدراسة على بعد 30 كم شمال مدينة الموصل وعلى بعد 10 كم جنوب ناحية القوش، فيها تلوى منعزلة تتكون من التتابع الطيفي للطين والغررين والرمل والحجر الطيني، إذ تحوي تربات الأطيان المتطبقة على معادن طينية رئيسية كالمونتmorلونايت والباليكوريسكايت يرافقها معادن غير طينية كالكلسait والكورتز (Ma'ala *et al.*, 2001, 2002 and 2007) ، وتم دراسة تأثير نسب المعادن الطينية وغير الطينية على صناعة الطابوق وغيرها من الصناعات السيراميكية، كما توجد دراسة عن تأثير حبيبات الكلس الناعمة في الترب على خواص الطابوق المنتج التي اجريت من قبل Al-Kass *et al.*, 1985 (Al-Kass *et al.*, 1985) الذي استنتاج أن وجود الكلس بالنوعة المقاربة للتربة لا يؤدي إلى تشقق النموذج نتيجة الانتفاخ الذي يسببه تفكك الكلسait على أن يكون الحرق بدرجة حرارة (850) °م وعالياً توجد الكثير من الدراسات التي تقيم المنتجات السيراميكية وبالأخص الطابوق كالدراسة التي قام بها Martirena *et al.*, 2006 (Martirena *et al.*, 2006)، إذ أشار إلى ان إضافة الكلسait بنسبة قليلة للأطيان يقلل من درجة حرارة الإنضاج ويحسن مقاومة انتضاظ الطابوق، والدراسة التي قام بها Cultrone *et al.*, 2004 (Cultrone *et al.*, 2004) الذي أشار إلى ان وجود الكلسait بالمادة الأولية يؤدي إلى زيادة المسامية وذلك عند حرق الطابوق بين (800 – 1000) °م. كما أشارت دراسات أخرى Jodi *et al.*, 2011 (Jodi *et al.*, 2011) إلى إمكانية إنتاج طابوق البناء لنفس منطقة الدراسة، لذلك ارتأينا دراسة خصائص أطيان المنطقة وظروف الإنتاج المثلى كالدرج الحجمي والفرق بين طرق التشكيل بالكبس أو البثق واختلاف درجات حرارة الحرق وتأثير ذلك على خواص المنتجات السيراميكية (الفيزيائية والميكانيكية).

الجانب العملي

تم أخذ (10) نماذج بزنة (10) كغم لكل نموذج بعد حفر قناء طويلة وعمودية على ميل الطبقات وعلى طول المكشف الواحد وبعمق نصف متر (تم إجراء الأعمال الحقلية من قبل منتسبين في المكتب الإقليمي في محافظة نينوى). وتعود جميع النماذج إلى تكوين المقدادية عدا النموذجين (K1-1 و K1-3) وهما من تكوين إنجانية.

وتم تقسيم المواد الخام المنمنجة إلى مجموعتين [مفتت، حجر طيني (claystone)]، وفيما يخص النماذج المفتتة فقد أجري عليها التقسيم والتربيع وأخذ نموذج ممثل (بعد فرز الكتل الخشنة في المواد الخام وغربلتها على غربال مقاس: 2 ملم) وأرسل النموذج المذكور للتحليل الكيميائي، أما نماذج الحجر الطيني، فقد تم تكسيرها بالكسارة الفكية، ثم التقسيم والتربيع واستخدام النموذج المختار من كلا النوعين لإجراء التحليل الفيزيائي والكيميائي والمعدني كما مبينة في الشكل (1).

• الفحوصات الفيزيائية

تم إجراء الفحوصات الفيزيائية (اللدونة، تحليل المقاس الحبيبي) للمواد الأولية الطينية، حيث أجري فحص اللدونة بطريقة حساب قوام التربة وحدود أتربيرك (ASTM, D4316) وأجري تحليل المقاس الحبيبي بطريقة الهايدروميتري (ASTM, D422) والنتائج مبينة في الجدول (1)، شكل (1).

• التحليل الكيميائي

تم إجراء التحاليل الكيميائية للمواد الأولية بطريقة التحليل الرطب حسب السياق رقم (21) للمختبرات الكيميائية لهيئة المسح الجيولوجي العراقيه (Al-Janabi *et al.*, 1992) والنتائج مبينة في الجدول (2)، شكل (1).

• التحليل المعدني

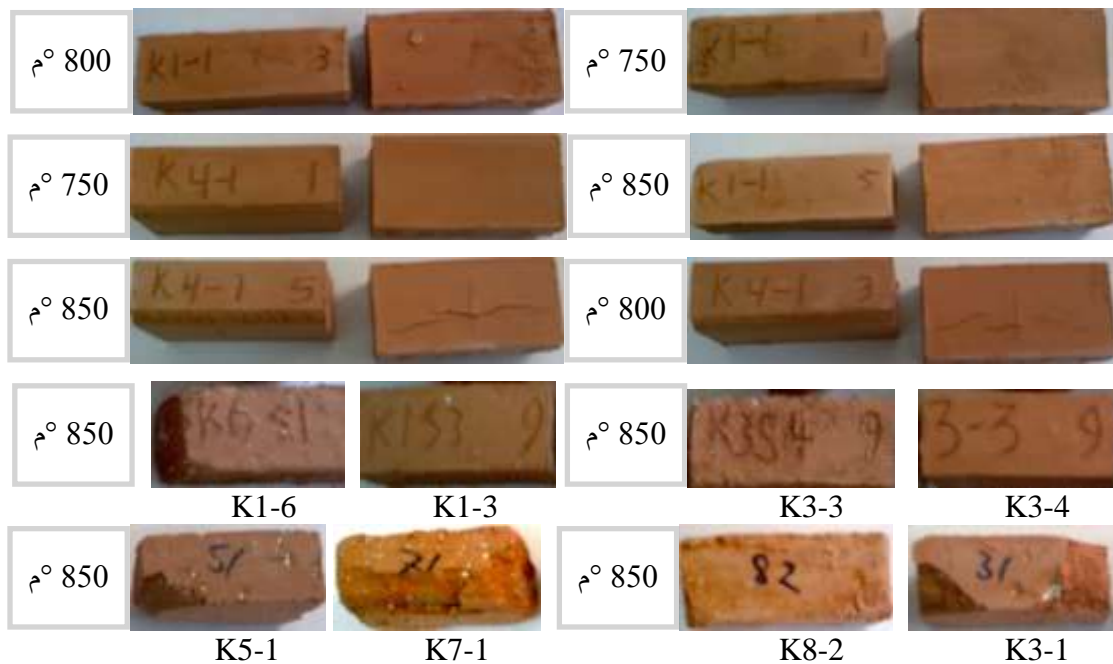
تم إجراء تحليل الأشعة السينية للمواد الخام لتحديد التراكيب المعدنية الطينية وغير الطينية باستخدام جهاز ياباني الصنع (Shimedzu, 7000) وكما مبين في الأشكال (2 – أ و ب)، (3 – أ و ب)، (4 – أ و ب)، (5 – أ و ب)، (6 – أ و ب)، (7 – أ و ب)، (8 – أ و ب)، (9 – أ و ب)، (10 – أ و ب) و (11 – أ و ب)، (الشكل 1).

جدول 1: نتائج الفحوصات الفيزيائية للمواد الأولية

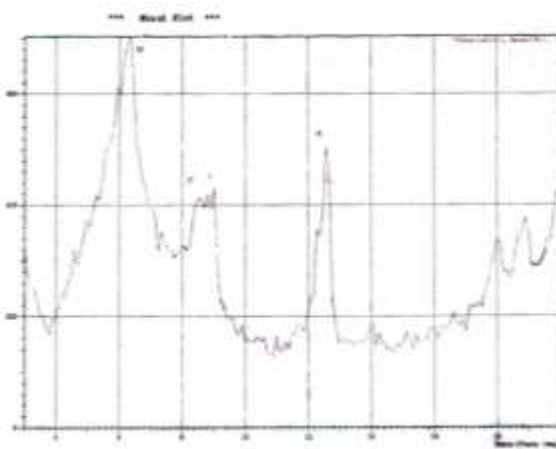
رمز النموذج	Clay	Silt	Sand	L.L	P.L	P.I
K1-1	36	30	34	38.23	25.13	13.11
K3-1	45	28	27	51.75	27.85	23.9
K4-1	33	39	28	39.2	24.82	14.38
K5-1	42.0	52.0	6	35.8	22.52	13.31
K7-1	43	35.2	21.8	36.22	27.07	9.14
K8-2	43	30	27	42.81	23.45	19.37
K3-3	44.3	36.5	19.2	49.93	27.81	22.13
K1-3	40	30	30	36.4	22.16	14.24
K6-1	53	24.7	22.3	35.93	25.5	10.4
K3-4	19.9	36.1	44.0	39.44	25.92	13.52

جدول 2: نتائج التحليل الكيميائي للمواد الأولية

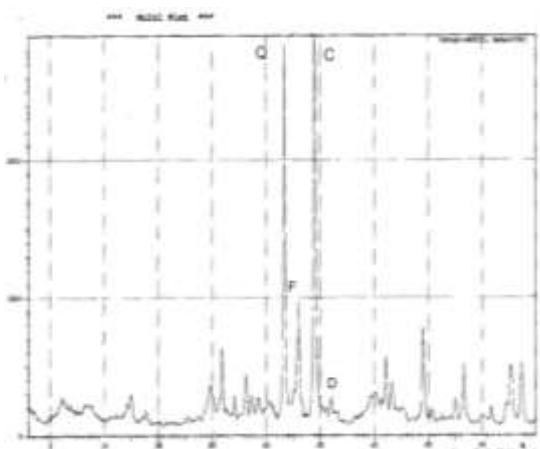
التركيب الكيميائي (%) رمز النموذج	SiO ₂	Fe ₂ O ₃	Al ₂ O ₃	CaO	MgO	SO ₃	L.O.I	Na ₂ O	K ₂ O
K1-1	43.45	4.72	9.4	16.24	6.2	0.16	16.97	0.62	1.72
K3-1	44.66	4.2	9.39	15.68	4.1	0.08	16.52	0.19	1.85
K4-1	35.22	3.88	7.69	22.68	3.5	0.11	22.31	0.10	1.28
K5S1	42.04	4.7	10.27	17.36	4.5	0.19	17.65	0.17	1.93
K7S1	37.68	4.5	8.73	21.28	4.1	0.10	20.12	0.12	1.18
K8S2	44.82	4.38	9.61	15.68	3.5	0.09	15.98	0.37	2.22
K3S3	47.70	6.01	14.25	10.08	4.82	0.14	12.37	0.16	2.88
K1S3	43.80	5.3	9.55	16.24	6.53	0.19	15.86	0.66	1.77
K6S1	40.56	4.85	9.01	20.72	4.35	0.10	19.41	0.12	1.28
K3S4	51.30	3.94	9.10	14.56	3.60	0.10	13.68	0.65	2.03



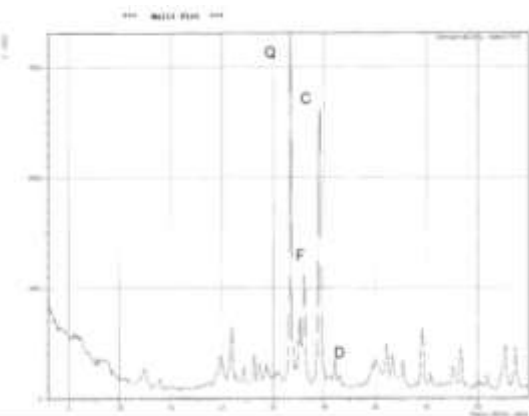
شكل 1: نماذج محضرة بطريقة البثق



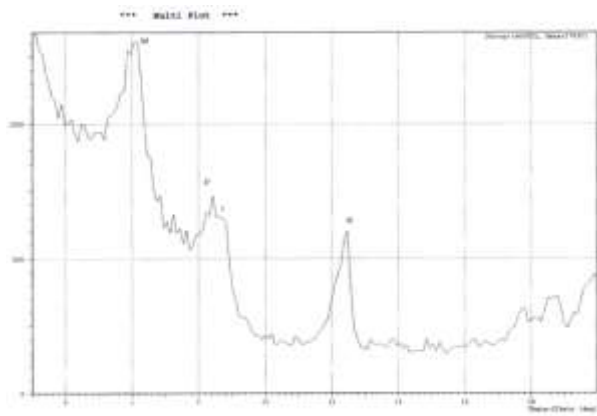
شكل 2 - ب: التحليل المعدني لنموذج (K1-1)
المعادن الطينية



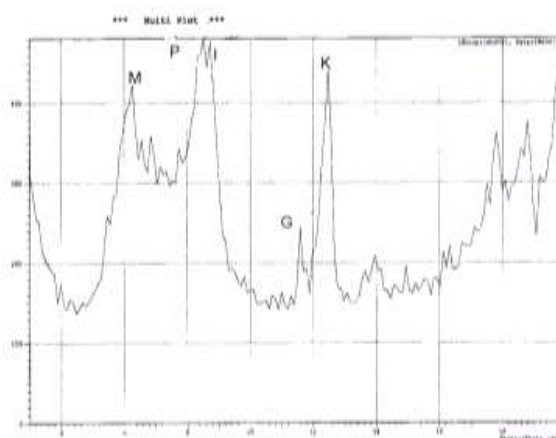
شكل 2 - أ: التحليل المعدني لنموذج (K1-1)
المعادن غير الطينية



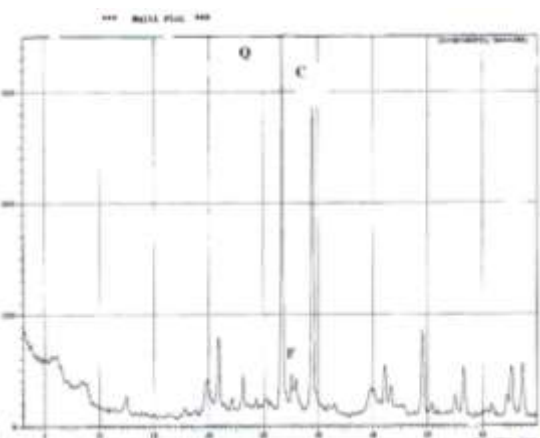
شكل 3 - ب: التحليل المعدني لنموذج (K1-3)
المعادن الطينية



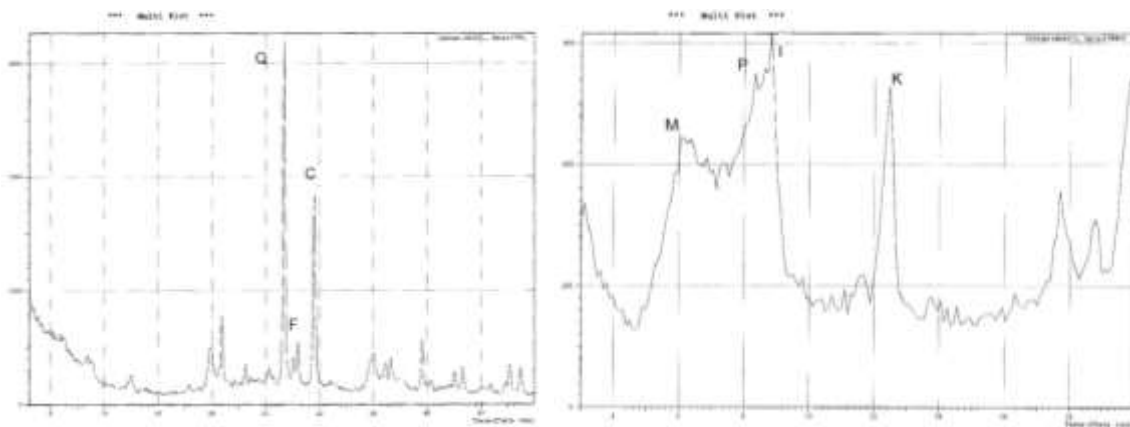
شكل 3 - أ: التحليل المعدني لنموذج (K1-3)
المعادن غير الطينية



شكل 4 - ب: التحليل المعدني لنموذج (K3-1)
المعادن الطينية

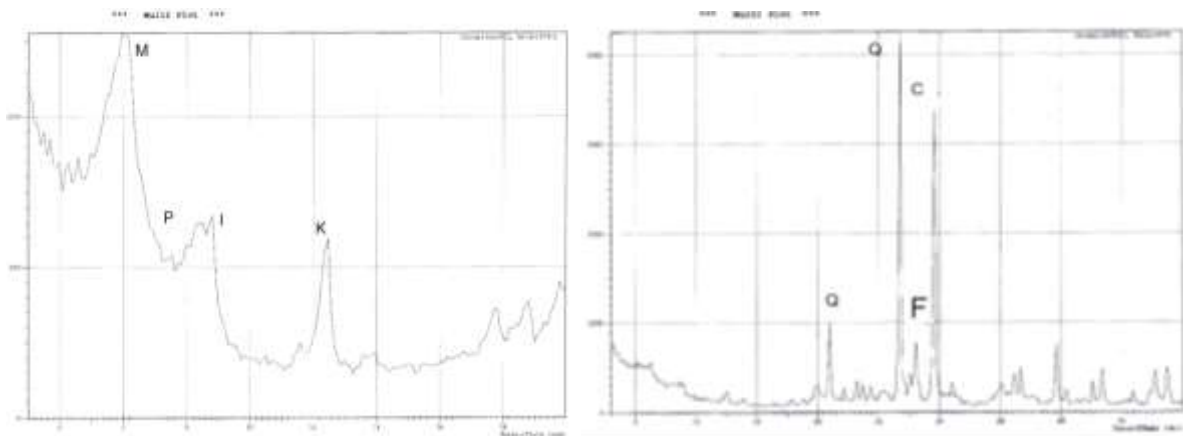


شكل 4 - أ: التحليل المعدني لنموذج (K3-1)
المعادن غير الطينية



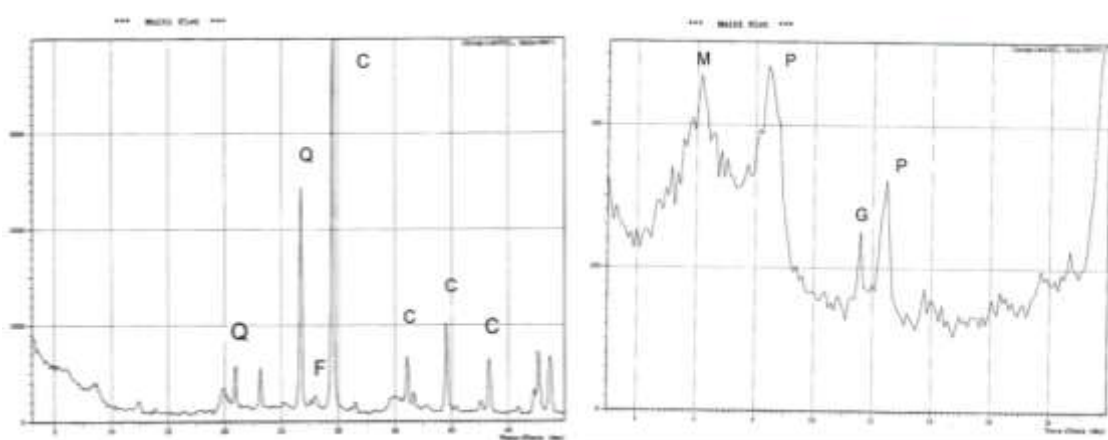
شكل 5 - ب: التحليل المعدني لنموذج (K3-3)
المعادن الطينية

شكل 5 - أ: التحليل المعدني لنموذج (K3-3)
المعادن غير الطينية



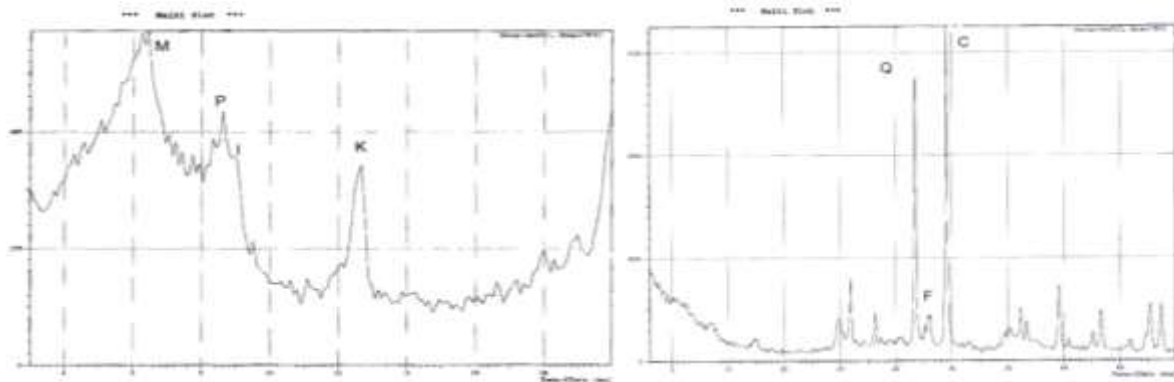
شكل 6 - ب: التحليل المعدني لنموذج (K3-4)
المعادن الطينية

شكل 6 - أ: التحليل المعدني لنموذج (K3-4)
المعادن غير الطينية



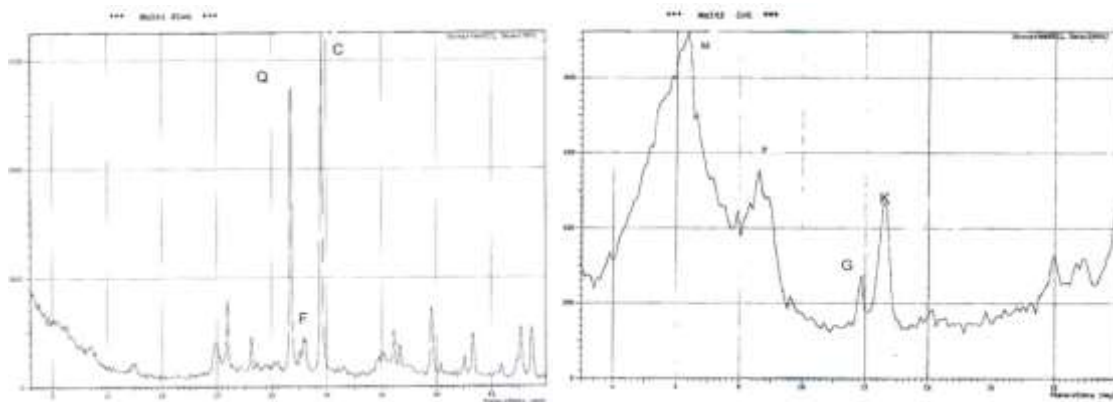
شكل 7 - ب: التحليل المعدني لنموذج (K4-1)
المعادن الطينية

شكل 7 - أ: التحليل المعدني لنموذج (K4-1)
المعادن غير الطينية



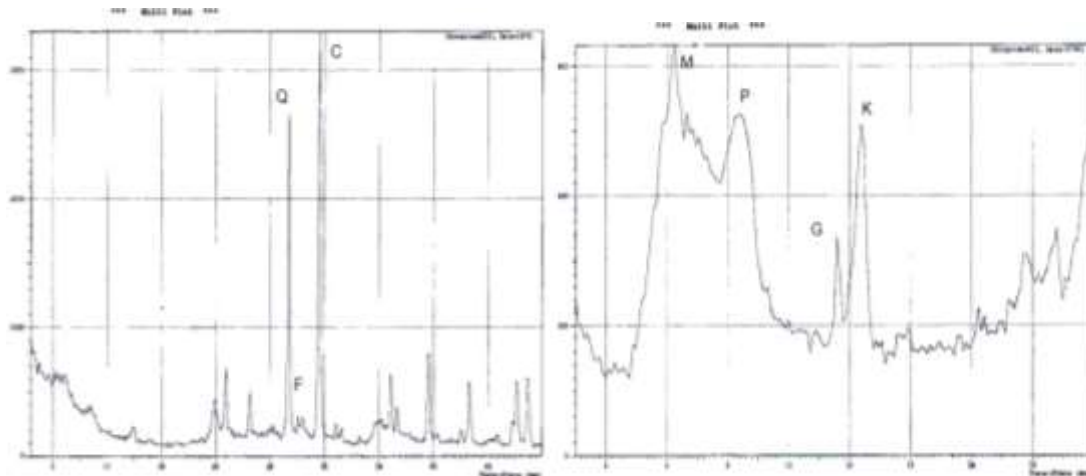
شكل 8 - ب: التحليل المعدني لنموذج (K5-1)
المعادن الطينية

شكل 8 - أ: التحليل المعدني لنموذج (K5-1)
المعادن غير الطينية



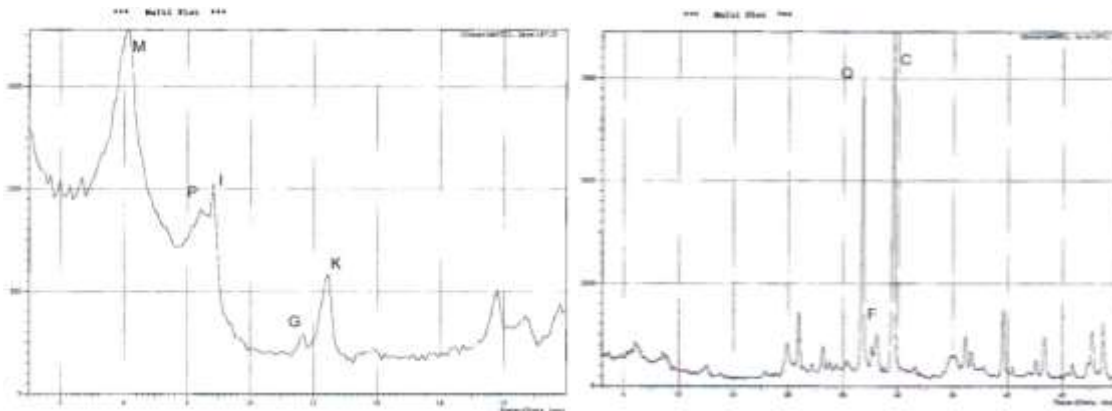
شكل 9 - ب: التحليل المعدني لنموذج (K6-1)
المعادن الطينية

شكل 9 - أ: التحليل المعدني لنموذج (K6-1)
المعادن غير الطينية



شكل 10 - ب: التحليل المعدني لنموذج (K7-1)
المعادن الطينية

شكل 10 - أ: التحليل المعدني لنموذج (K7-1)
المعادن غير الطينية



شكل 11 - ب: التحليل المعدني لنموذج (K8-2)
المعادن الطينية

شكل 11 - أ: التحليل المعدني لنموذج (K8-2)
المعادن غير الطينية

Q: SiO_2	C: CaCO_3
D: $\text{CaCO}_3 \text{ MgCO}_3$	G: $\text{CaSO}_4 \cdot 2\text{H}_2\text{O}$
P: $\text{Mg}_5\text{Si}_{1.8}\text{O}_{20}(\text{HO})_2(\text{OH})_4 \cdot 4(\text{H}_2\text{O})$	M: موتنوريلونايت (Ca) $_{0.3}(\text{Al}, \text{Mg})_2\text{Si}_4\text{O}_{10}(\text{OH})_2 \cdot n\text{H}_2\text{O}$
K: $\text{Al}_2\text{O}_3 \cdot 2\text{SiO}_2 \cdot 2\text{H}_2\text{O}$	I: الاليت ($\text{KAl}_2(\text{OH})_2[\text{AlSi}_3(\text{O}, \text{OH})_{10}]$)
H: Fe_2O_3	

تشكيل النماذج طريقة البثق

تم تحضير النماذج بطريقة البثق بـ(ألاعنة النماذج) بعد الغربلة مباشرة على مقاس (2) ملم وتم إضافة الماء للتخلص من الماء لـ(3) أيام لتوزيع التجانس الرطوبي إذ أن بقاءها مدة أطول بالمحتوى الرطوبي المناسب يسمح بتفكك الكتل الطينية المتحجرة. ولتجربة غمر المادة الخام بالماء وفرز كل الحجر الجيري تم انتخاب النماذج (K1-1 و K4-1)، إذ تم تنقيع المادة الخام لمدة 72 ساعة لضمان تفكك الأطيان ثم غربلت على مقاس (1) ملم وبعد ذلك تم ترسيب الطين والتخلص من الماء الزائد على السطح وتجفيف النموذج بالهواء وبعدها بالفرن الكهربائي بدرجة (110) °م، وبعد ذلك تم تكسير النموذج والغربلة على غربال مقاس (300) مايكرون لـ(ألاعنة النماذج) بطريقة البثق المشار إليها في الأعلى.

طريقة الكبس

تم إعداد نماذج طابوق مختبرية بـ(ألاعنة الكبس) شبه الجاف بـ(250) كغم/سم² باستخدام قالب اسطواني بـ(12 × 5) سم ، وقسمت النماذج إلى ثلاثة مجموعات بتدرج حجمي مختلف، كل منها عامل بطريقة خاصة وكالاتي:

- تم أخذ النماذج (K1-3، K3-3، K6-1 و K3-4) المغربية مسبقاً على منخل مقاس (2) ملم وغربلتها على مقاس (300) مايكرومتر شرط أن يتم تكسير المتبقي مرة ثانية إلى أن يتم عبور النموذج بالكامل وتحضر النماذج لـ(ألاعنة).
- تم أخذ النماذج (K1-1، K3-1، K5-1 و K7-1) وطحنتها وغربلتها على مقاس (75-75) مايكرومتر وتحضرها لـ(ألاعنة).

- تم أخذ النماذج (K4-1 و K8-2) (وهي منذجة مسبقاً) وغمرها بالماء (التنقيع) لـ(72) ساعة لـ(ألاعنة) تفكك الأطيان ثم مررت على مقاس (1) ملم (ليتم فرز الكتل الخشنة من الحجر الجيري المرافق للطين) وبعدها يتم ترسيب الطين العالق والتخلص من الماء الزائد وتجفيف النموذج بالهواء وبعد ذلك بالفرن على درجة حرارة (110) °م يتم تكسير النموذج بعد التجفيف والغربلة على مقاس (300) مايكرومتر لـ(ألاعنة).

▪ التجفيف والحرق

تم تجفيف النماذج المشكلة بالطريقتين (البثق، الكبس) بمرحلتين:
 المرحلة الأولى: بدرجة حرارة الغرفة لمدة 48 ساعة.
 المرحلة الثانية: بالفرن الكهربائي بدرجة حرارة 110 ± 5 درجة مئوية لمدة 24 ساعة.

وتم حرق النماذج بدرجات حرارية مختلفة (750، 800، 850 و 1100) درجة مئوية وفق برنامج حرق 3 درجة مئوية و زمن الاستبقاء 2 ساعة.

▪ الفحوصات الفيزيائية والميكانيكية

تم تحديد الفحوصات الفيزيائية والميكانيكية لنماذج الطابوق المصنوع وفقاً لمتطلبات المواصفة القياسية العراقية رقم (25) لسنة (1993)، وتم تقييم المظاهر الخارجي بعد الحرق والفحوص الفيزيائية والميكانيكية للنماذج المشكلة بالطريقتين البثق والكبس المبينة في الجداول (3، 4، 5 و 6)، الشكل 12.

جدول 3: المواصفة القياسية العراقية 25 لسنة 1993

صنف الطابوق	الحد الأدنى لقوة الانضغاط كغم/سم ²	الحد الأعلى لنسبة امتصاص الماء %	التزهر
A	180	20	خفيف
B	130	24	متوسط
C	90	26	عالي

جدول 4: المظاهر الخارجي للنماذج قبل وبعد الحرق

رمز النموذج	المظهر قبل الحرق	مظهر بعد الحرق للنماذج المبتوحة بعد 10 أيام						مظهر بعد الحرق للنماذج المكبوسة بعد 10 أيام			
		750 °م	800 °م	850 °م	1100 °م	العرض	750 °م	800 °م	850 °م	1100 °م	
K1-1	-	-	-	-	-	خالي من العيوب	تفتحت السطح	تفتحت قليل، شفوق سطحية	تفتحت قليل، شفوق سطحية	-	-
*K1-1-	خالي من العيوب	ناجح	ناجح	ناجح	-	خالي من العيوب	ناجح	شق دائري، تفتحت متوسط شفوق سطحية	شق دائري، تفتحت شفوق سطحية	-	-
K3-1	خالي من العيوب	تفتحت قليل، تفتحت كثير، كلس كثير	تفتحت كثير، كلس كثير	تفتحت كثير، كلس كثير	-	شق	شق نافذ	شفوق نافذة، شفوق سطحية	شفوق نافذة، شفوق سطحية	-	-
*K4-1-	شق	شق نافذ	شق نافذة	شقوق نافذة	-	خالي من العيوب	شق دائري	شقوق نافذة، شفوق سطحية	شقوق نافذة، شفوق سطحية	-	-
K5-1	خالي من العيوب	تفتحت قليل، تفتحت كثير، كلس كثير	تفتحت قليل، تفتحت كثير، كلس كثير	تفتحت قليل، تفتحت كثير، كلس كثير	-	شقوق	شق نافذ	انقسام النموذج	انقسام النموذج	-	-
K7-1	خالي من العيوب	تفتحت قليل، تفتحت كثير، كلس كثير	تفتحت قليل، تفتحت كثير، كلس كثير	تفتحت قليل، تفتحت كثير، كلس كثير	-	شقوق	شق نافذ	انقسام النموذج	انقسام النموذج	-	-
K8-2	خالي من العيوب	ناجح	ناجح	ناجح	-	شق على السطح	شق على السطح	شق نافذ، تفتحت شفوق سطحية	شق نافذ، تفتحت شفوق سطحية	-	-
*K8-2-	-	-	-	-	-	خالي من العيوب	شق دائري	شق نافذ، تفتحت شفوق سطحية	شق نافذ، تفتحت شفوق سطحية	-	-
K3-3	خالي من العيوب	ناجح	ناجح	ناجح	انتفاخات مع ترجم سطحي	خالي من العيوب	ناجح	ناجح	ناجح	ناجح	تضلُّع شديد
K1-3	خالي من العيوب	ناجح	تفتحت قليل، كلس قليل	تفتحت قليل، كلس قليل	ناجح	خالي من العيوب	تفتحت	تفتحت كثير، شفوق سطحية	تفتحت كثير، شفوق سطحية	ناجح	ناجح
K6-1	خالي من العيوب	تفتحت قليل، كلس كثير	تفتحت كثير، كلس كثير	تفتحت قليل، كلس كثير	ناجح	خالي من العيوب	ناجح	شقوق نافذة، شفوق سطحية	شقوق نافذة، شفوق سطحية	شقوق نافذة	شقوق نافذة
K3-4	خالي من العيوب	تفتحت قليل، كلس كثير	تفتحت متوسط كلس كثير	تفتحت متوسط كلس كثير	ناجح	خالي من العيوب	تفتحت	تفتحت كثير، شفوق سطحية، تفتحت	تفتحت كثير، شفوق سطحية، تفتحت	ناجح	ناجح

* عمر المادة الأولية بالماء ثلاثة أيام

جدول 5: الفحوصات الفيزيائية والميكانيكية للنماذج المحضرة بطريقة البثق

رمز نموذج	° م 750		° م 800				° م 850				° م 1100	
	الانكمash الطلوي %	امتصاص الماء %	مقاومة الانضغاط كغم/سم ²	الانكمash الطلوي %	امتصاص الماء %	مقاومة الانضغاط كغم/سم ²	الانكمash الطلوي %	امتصاص الماء %	مقاومة الانضغاط كغم/سم ²	الانكمash الطلوي %		
*K1-1-	- 0.07	17.37	217.37	1.08	18.64	335.79	1.24	20.97	245.50	-		
K3-1	0.12	17.99	203	0.39	18.09	273.9	1.08	15.85	301	-		
K3-3	- 0.3	18.1	296.34	1.6	15.49	460.3	2.35	11.85	295.3	4.66		
K1-3	0	13.58	210.6	0.25	17.78	256.1	0.07	21.0	166.07	1.67		
K5-1	2.04	17.96	106.86	1.07	14.92	307.6	1.4	13.24	342.4	-		
K6-1	0.39	14.25	288.6	1.38	13.03	264.6	1.1	14.2	نهشم	3.68		
K7-1	0.35	16.3	165.55	1.20	14.52	364.3	1.66	13.32	293.2	-		
K3-4	- 0.14	18.5	165.7	0.6	20.83	173.8	0.14	24.4	93.4	2.7		
K8-2	0.29	24.17	196.46	0.61	19.28	238.56	0.72	17.44	274.3	-		
*K4-1-	0.29	18.76	265.33	2.75	17.43	403.63	2.94	18.91	311.06	-		

*عمر المادة الأولية بالماء ثلاثة أيام

جدول 6: الفحوصات الفيزيائية والميكانيكية للنماذج المحضرة بطريقة الكبس

رمز النموذج	° م 750		° م 800		° م 850		° م 1100		
	الانكمash الطلوي %	امتصاص الماء %	مقاومة الانضغاط كغم/سم ²	الانكمash الطلوي %	امتصاص الماء %	مقاومة الانضغاط كغم/سم ²	الانكمash الطلوي %	امتصاص الماء %	مقاومة الانضغاط كغم/سم ²
K1-1	0.28	19.8	193.14	0.46	21.1	266	0.92	24.66	240.8
K 3-1	- 0.36	23.95	123	-	-	نهشم	2	24.2	154.6
K3-3	0.09	19.2	358.6	1.5	19.68	536.55	2.88	14.65	581.87
K1-3	- 0.56	15.9	243.5	- 1.8	20.2	نهشم	- 2.21	22.4	نهشم
K5-1	0.18	24.65	118.8	-	-	نهشم	-	-	نهشم
K6-1	0.28	17.05	271.95	-	-	نهشم	0.37	19.36	نهشم
K7-1	0.18	23.2	151.78	-	-	نهشم	-	-	-
K3-4	- 0.46	17.05	212.75	- 1.5	21.7	199.4	- 1.29	22.55	125.88
K8-2	0.37	22.45	184.4	0.65	23.3	251	2.02	21.62	302.05
*K8-2-	- 0.37	22.68	170.34	0.28	24.9	201	-	-	-
*K4-1-	0.09	26.34	152.19	0.64	27.05	143.1	-	-	-
*K1-1-	- 0.83	18.78	135.04	- 0.09	21.24	256	-	-	-

*عمر المادة الأولية بالماء ثلاثة أيام



شكل 12: نماذج تم حرقها بدرجة (750) ° م

النتائج و المناقشة

▪ خواص المواد الأولية

– الخواص الفيزيائية: تشمل نتائج الفحوصات الفيزيائية للمواد الأولية كل من تحليل المقاس الحبيبي و فحص اللدونة للنماذج المبنية في جدول (1)، وتشير النتائج الى ان أغلب النماذج تتراوح نسبة الطين فيها بين (33% – 65%) وهذا يعود الى وجود المعادن الطينية التي تصفي خاصية اللدونة للخام عدا النموذج K3-4 وهو نموذج من الطين الصخري (claystone) وهو عبارة عن حبيبات معدنية صلبة مدفونة في الأعمق ومتصلة، مع تواجد الكلس على عمق قليل في التربة، وبفعل الضغط والحرارة تفتت الكلس وتدخل بين مرکبات الأطيان اذ تصل نسبة الأطيان فيه الى (19.9)% ونسبة الرمل (44)%، أما بالنسبة لمعامل اللدونة فأن النماذج تعد خليط من المعادن الطينية وغير الطينية حيث ان الأولى تقسم باللونة العالية كالمونتموريلونايت والباليكورسكايت والثانية تعد معادن غير لدنة كالكلسيت والكوارتز لذلك نحصل على حد رطوبة ملائم لانتاج الطابوق، اذ يجب ان يتراوح حد الرطوبة بين (Gonzalez *et al.*, 1997) % (30 – 10) PI.

– الخواص المعدنية والكيميائية: نلاحظ من التحليل المعدني XRD للمواد الأولية النتائج المبنية في الأشكال (2 – أ و ب)، (3 – أ و ب)، (4 – أ و ب)، (5 – أ و ب)، (6 – أ و ب)، (7 – أ و ب)، (8 – أ و ب)، (9 – أ و ب)، (10 – أ و ب) و (11 – أ و ب)، وهذه تبين احتواها على معادن غير طينية وبصورة أساسية كالكلسيت والكوارتز وبصورة ثانوية الفلسبار والدولومايت وظهور الجبس في بعض النماذج ووجود مجموعة من المعادن الطينية المتمثلة بصورة أساسية بالمونتموريلونايت والباليكورسكايت وبصورة ثانوية الكاولينايت والإلايت، إذ تتبين نسبة المعادن الموجودة بتحليل الأشعة السينية في جميع النماذج (المواد الخام) مما له دور في تحديد خواص الطابوق المنتج وبصورة رئيسية تأثير وجود الكلس بالخام والمتمثل بالكلسيت معديناً والذي يؤثر على نماذج الطابوق بالمعنى الحراري (800 – 1050) °م (Jodi *et al.*, 2011) وذلك لتفتكك كarbonات الكالسيوم وخروج غاز (CO₂) وبقاء (CaO) الذي يسهم بإضعاف النموذج فيما بعد نتيجة لامتصاص الرطوبة من الجو وتحول أوكسيد الكالسيوم إلى هيدروكسيد الكالسيوم الذي يؤدي الى تشقق وتفتت النموذج، ومن جهة اخرى وجود الأطيان عالية اللدونة المتمثلة بالمونتموريلونايت والباليكورسكايت التي تسبب تشظقات بالنماذج بعد التجفيف والحرق لبعض النماذج المبنية نتائجها في جدول (4)، وبالنسبة لنتائج التحليل الكيميائي للمواد الأولية المبنية في جدول (2) فقد تم إجراء التحليل الكيميائي للخام بعد الغربلة على (2 ملم) وذلك لفرز الكتل الخشنة من الحجر الجيري واستخدمت المادة العابرة من غربال مقاس (2 ملم) لتحضير نماذج الطابوق المختبرى، كما ان وجود نسب من المركبات الكيميائية الممثلة بـ (K₂O، Na₂O، Fe₂O₃ و MgO) مع تباين نسبها واختلاف تواجد المركبات المعدنية بالمواد الأولية يعمل على تقليل درجة الإنضاج الحراري وتقلل مقاومته للحرارة العالية (Shestoperov, 1988 and Baccour *et al.*, 2008).

– خواص نماذج الطابوق: تم ترك النماذج بعد الحرق معرضة لجو الغرفة لمدة لا تقل عن (10) أيام للاحظة التغيرات التي ظهرت على النماذج عند تعرضها لجو وبعدها تم إجراء الفحوصات الفيزيائية والميكانيكية، وتم تصوير بعض النماذج (شكل 13 و 14) لتعكس التغيرات التي ظهرت عليها.



شكل 13: نماذج تم حرقتها بدرجة (800) °م



شكل 14: نماذج محضرة بالبثق والكبس تم حرقها بدرجة (1100) °م

– خواص النماذج المشكّلة بالبثق:

- غربلة النماذج المتفتّة على مقاس (2 ملم) وتخميرها بإضافة الماء هي الطريقة التقليدية المتبعة معملياً وقد اتبع نفس السياق لصناعة نماذج الطابوق بطريقة البثق، وخصوصاً النماذج التي تقل فيها نسبة الكالسيت كالنماذج K1-3، K3-1 و K3-3 (K3)، حيث ظهرت بمظهر خارجي غير مشوه عند الحرق بدرجة منخفضة (750) °م كما مبين في الجدول (4)، مقارنة بالنماذج الأخرى التي ترتفع فيها نسبة الكالسيت كالنماذج (K5-1، K6-1 و K7-1) حيث أظهرت هذه النماذج بعد الحرق تشققات في جسم النموذج عند ارتفاع درجات الحرق، لذلك يكون من الأنسب تقليل درجة حرارة الحرق عن (750) °م لتلافي تفكك الكالسيت ولو جزئياً الذي يعد العامل الرئيسي في تشقق النماذج المبتوقة (Jodi *et al.*, 2011).
- تكسير النماذج المتحجرة كالنموذجين 4-K3 و 2-K8 وغربلتها على غربال مقاس (300) مايكرومتر وتشكيلها بالبثق، كانت النتائج حيدة من ناحية المظهر الخارجي (خالي من التشققات والكتل البيضاء) والفحوصات الفيزيائية والميكانيكية عند الحرق بدرجة (850) °م كما في الجدول (5)، إذ ان انتشار حجر الكلس بالعينات المتحجرة أقل تأثيراً عند الحرق مقارنة بالنماذج المتفتّة (انظهراً حجر الكلس للعيان بمقاسات مختلفة)، وقلة نسبة CaO بالعينة التي تصل الى (15.68%) لم تؤثر على خواص الطابوق المبتوق (Jodi *et al.*, 2011)، أما النموذج 4-K3-4 فهو رملي وأبدى خشونة وتفتّت السطح الخارجي نتيجة لزيادة نسبة الرمل بالعينة.
- تأثير النقع بالماء على المادة الأولية، إذ اعتمد المقاس 300 مايكرومتر لتحضير العينات بعد التجفيف لإعداد نماذج البثق، وتم تجربة هذه الطريقة على النماذجين (4-K4 و 1-K1) إذ نلاحظ أن الأول (-K1-1) أبدى صفات جيدة من ناحية المظهر الخارجي والخواص الأخرى مقارنة بالنموذج الثاني الذي أظهر تشققات على سطحه نتيجة اللدونة التي زاد تأثيرها بالنقع بالإضافة الى وجود حجر الكلس.

– خواص النماذج المشكّلة بالكبس:

- ظهر تأثير عملية التكسير والغربلة بالمقاس (300) مايكرومتر للنماذج (3-K1-3، 3-K3-3، 4-K3-4 و 1-K6-1) حيث نلاحظ من المظهر الخارجي للنماذج المكبسة جدول (4) ان هناك اختلاف واضح بين العينات المختارة وذلك لاختلاف خواص موادها الأولية فإن زيادة نسبة الأطيان تؤدي إلى حدوث شق بالعينة كما في النموذج (1-K6-1) وظهر ذلك بالحرق في الدرجات الحرارية (750، 800 و 850) °م، إذ تصل نسبة الطين بالعينة 53% كما في جدول (1)، أما النماذجين (3-K1-3 و 4-K3-4) فنلاحظ تشقق السطح الأعلى للعينة وتكسر المحيط نتيجة لعرضه للجو بعد الحرق إذ يبدأ النموذج إذ يبدأ النموذج بالتفتّت نتيجة لامتصاصه الرطوبة من الجو وتحول أوكسيد الكالسيوم إلى هيدروكسيد الكالسيوم (الأكبر حجماً) مما يؤدي إلى انتفاخ وتفتّت أطراف النموذج، أما النموذج (4-K3-4) فهو نموذج مثالي جداً عند الحرق بدرجة حرارة (800) °م كما مبين في الجدول (5) فقد أعطى مقاومة انصهار (536.55) كغم/سم² وامتصاص (19.68) % نتيجة لقصاص نسبة CaO بالخام (9.52) % وارتفاع نسبة أوكسيد الحديد وأوكسيد البوتاسيوم (6.01، 2.88 و 0.06%) على التوالي التي تعد أعلى النسب مقارنة بالنماذج الباقية، إذ تعمل زيادة المواد المصهورة على تسريع الإنصاج الحراري لنموذج الطابوق (Prasertsan and Theppaya, 1995).
- تأثير طحن المواد الأولية بمقاس < 75- مايكرومتر المتمثلة بالنماذج (1-K1-1، 3-K3-1، 4-K3-4 و 2-K8) يظهر في الجدول (6). إن النماذج بدأت بالتشقق بعد التجفيف بالفرن نتيجة لخروج ماء التشكيل ويعود سبب ظهور التشققات إلى النعومة العالية للأطيان وتأثير الكبس عليها في تقارب حبيبات الطين مما يعيق خروج ماء التبلور عند الحرق ويحدث شقوق نافذة بالنماذج.
- تأثير الكبس على الأطيان المغمرة بالماء (1-K1-1، 2-K8 و 4-K4-1) كما مبين في جدول (4) في المظهر الخارجي، إن النماذج تبدأ بالتشققات السطحية والنفت (الوجه الأعلى للنماذج خصوصاً) عند تعرضها للجو لمدة 10 أيام تقريباً وتترافق شدة التشقق حسب نسبة وجود الكالسيت بالعينة، إن عملية النقع أدت إلى نعومة المادة الخام عند

عملية الكبس تتدخل حبيبات المادة مما يعيق خروج ماء التبلور عند الحرق مما يحدث تشغقات على سطح النموذج (Grim, 1962).

▪ **تأثير زيادة درجة حرارة الحرق إلى 1100 °م**
تم تجربة زيادة درجة حرارة الحرق إلى 1100 °م وشملت هذه التجربة النماذج (K1-3، K3-3، K3-4، K6-1) المحضرة بالبثق والكبس حيث نلاحظ من النتائج المبينة في الجدولين (5 و 6)، ان النموذج (K3-4) أظهر أفضل النتائج (مقاومة انضغاطه 393.8 كغم/سم² ونسبة الامتصاص 13.21%) وهذه الدرجة الحرارية لا ينصح بها لصناعة الطابوق وإنما يكون استخدامها لإنتاج أنواع أخرى من منتجات البناء كال بلاطات الأرضية أو طابوق الواحات وغيرها من المنتجات السيراميكية (Karaman, 2006) ومن الواضح ان خواص هذا النموذج (K3-4) أكثر طابقاً مع مواصفات المنتجات السيراميكية المذكورة وذلك لاحتوائه على الرمال والمواد الصهور فضلاً عن الأطيان بنسب مناسبة لهذه المنتجات. أما النموذج (K3-3) فقد أبدى زيادة عالية بالانكمash (%) 4.66% بالبثق، 7.75% بالكبس) المبينة بالجدولين (5 و 6)، نتيجة زيادة الأطيان وبرافقها زيادة المواد الصهور، إذ أبدى النموذج المحضر بطريقة البثق تشوهات (انتفاخات وبداية ترجم) لذلك لا ينصح باستخدامه بالدرجات الحرارية العالية.

أما النموذج (K1-3) فقد أظهر نجاحاً في هذه الدرجة الحرارية بطريقي البثق والكبس على عكس النموذج (K6-1) الذي أبدى فشلاً واضحاً في هذه الدرجة الحرارية (النموذج الكبس والبثق) كما مبين بالجدولين (5 و 6).

▪ **مقارنة بين طريقي التشكيل بالبثق والكبس**
نلاحظ من نتائج الفحص بالدولي (5 و 6) بالنسبة للبثق والكبس على التوالي شكل (13)، ان عملية البثق ملائمة أكثر من عملية الكبس في إنتاج الطابوق من الأطيان اللينة والمحتوية على الكالسيت بنسب متباعدة وذلك لأن عملية البثق يرافقها سحب الهواء للعينة (vacuum) أي تقليل الفراغات مما يؤدي إلى تقليل امتصاص الرطوبة، وهذا يعطى سبب زيادة نسبة امتصاص الماء للنماذج المكبسة مقارنة بالنماذج المبتوحة، وكذلك نلاحظ النماذج المكبسة المبينة في جدول (6) تظهر التشغقات للسطح العلوي المواجهة للمكبس نتيجة تداخل وتراص حبيبات الطين في أسفل قالب الكبس أكثر من السطح، وذلك يبرر امتصاص النماذج للرطوبة عند تعرضها للجو بسبب الفكاك الجزيئي للكالسيت أثناء عملية الحرق مكوناً أوكسيد الكالسيوم الذي يعد أوكسيداً قلقاً تجاه الرطوبة الموجودة بالجو فيتحول إلى هيدروكسيد الكالسيوم ويزداد حجمه مؤدياً إلى حدوث التشغقات (Elert et al., 2003).

الاستنتاجات

- استخدام طريقة البثق لتشكيل الطابوق له خصائص ديمومة أفضل بعد الحرق مقارنة بطريقة الكبس في تحضير النماذج.
- نجاح النماذج (K1-1 و K8-2 و K3-3) المحروقة بدرجة 800 °م والمحضرة بطريقة البثق.
- حرق النماذج المعدة بطريقتي الكبس والبثق بدرجات حرارة تصل 1100 °م ملائمة لإنتاج مواد سيراميكية أخرى كما في النماذجين K3-4 و K1-3.

المصادر

- Al-Kass, R., Hadi, M., Khalil, N. and Al-Takarli, S., 1985. Effect of fine calcite Grains present in the soil on the properties of clay Bricks, Building Research Center.
- Al-Janabi, Y.A., Al-Sa'adi, N.A., Zainal, Y.M., Al-Bassam, K.S. and Al-Delaimy, M.R. 1992. Work Procedures, Part 21, Chemical Laboratories. GEOSURV, int. rep. no. 2002.
- ASTM D-4316. Standard Test Method for Liquid Limit, Plastic Limit, and Plasticity Index of Soil.
- ASTM, D422-63. Standard Test Method for Grain Size Distribution and Hydrometer analyses of Soil.
- Baccour, H., Medhioub, M., Jamoussi, F. and Mhiri, T., 2008. Densification Behaviour of a Red Firing Tunisian Triassic Clay. American Jour. Appl. Sci., No.5, Vol.3, p. 263 – 269.
- Cultrone, G., Sebastian, E., Elert, K., Torre, M., Cazalla, O. and Navarro, C., 2004. Influence of mineralogy and firing temperature on the porosity of bricks. Jour. of the European ceramic society. p. 547–564.
- Elert, K., Cultrone, G., Navarro, C. and Pardo, E., 2003. Durability of bricks used in the conservation of historic buildings influence of composition and microstructure. Journal of Cultural Heritage, Vol.4, p. 91 – 99.
- Grim, R., 1962. Applied Clay Mineralogy. McGraw-Hill Book CO., INC, p. 52 – 71.
- Gonzalez, E., Galan, A., Miras and P. Aparicio, 1997. New uses for brick making clay materials from the Bailen area southern Spain. clay minerals, No.33, p. 453 – 465.
- Jodi, M.S., Hussien, S.E. and Bader, N.D., 2011. Production of Building Bricks Using Some of Old Formation Clays From Naenava Selected From Location Al-Kend Hills. GEOSURV, int. rep. no. 3296.

- Karman, S., Ersahin, S. and Gunal, H., 2006. Firing temperature and firing time influence on mechanical and physical properties of clay bricks. Jour. Scientific and industrial research, Vol.65, p. 153 – 159.
- Ma'ala, K.A., Jabo, B.R., Al-Sa'ady, N.A., Lafta, A. and Fiadh, K., 2001. Qualitative and Quantitative Evaluation of the Bedded Clayey Soil for the Purpose of Clayey Building Bricks Industry in South of Mosul, Nanina Province, GEOSURV, int. rep. no. 2725A.
- Ma'ala, K.A., Khames, D.B., Souad, Q.J., Al-Sa'ady, N.A. and Abid Al-Zahra, E.K., 2002. Primary Qualitative and Quantitative Evaluation of the Bedded Clayey Soil for the Purpose of Clay Bricks Industry in East of Tikrit – Salah- Al-Din Province, GEOSURV, int. rep. no. 2807B.
- Ma'ala, K.A., Souad, Q.J., Khames, D.B., Al-Sa'ady, N.A. and Lafta, A., 2001. Qualitative and Quantitative Evaluation of the Bedded Clayey Soil for the Purpose of Clayey Building Bricks Industry in Injana Area Dyala Province, GEOSURV, int. rep. no. 2715B.
- Ma'ala, K.A., Souad, Q.J., Khames, D.B., Jabo, B.R., Al-Sa'ady, N.A. and Kadhum, M.A., 2007. Laboratory Assisment for Utilization of Neogen Mudstones in Manufacturing of Building Bricks. Iraqi Bull. Geol. Min., Vol.3, No.2, p. 1 – 15.
- Martirena, J., Day, R., Betancourt, D. and Diaz, Y., 2006. Improvement of Engineering Properties of Fired Clay Bricks through the Addition of Calcite, university of Calgary, Canada.
- Prasertsan, S. and Theppaya, T., 1995. A Study Toward Energy Saving in Brick Making: Part 1– Key Parameters for Energy Saving. Department of Mechanical Engineering, Thailand 90110.
- Shestoperov, S., 1988. Road and Building Materials. English translation, S.Semyonov, Vol.1, p. 320 – 348.
- Standard Specification No. 25, 1993. Brick Manufacture from Clay. Central Organization for Standardization and Quality Control.